

東京大学工学部 正員 奥村敏恵  
名古屋工業大学 正員 松浦 聖

まえがき アーチに関する安定性の吟味、すなわち、アーチの面内および面外に及ぶる弾性座屈<sup>1</sup>や振動、さらに極限荷重などに関する研究は、従来からいろいろな研究がなされているが、こゝでは図-1に示すような2本のテーパーのついたアーチを解析の対象としている。解析にはテーパーの角度 $\psi$ の影響にとくに注目している。アーチは円弧で、両端は面(I, II)に垂直な軸をもつヒンジとし、スパン中央Cは剛節とする。解析のオ1として弾性座屈値の算定を行つてある。これはすでにオ2回年次学術講演会にて発表したものと、さらに進めて検討を加えたもので、かく種座屈形(図-2)に対する座屈値を、主として厳密解によって求めた。その結果を比較考察してみると逆対称と座屈値が通常最も吟味を要することがわかつた。なお荷重は面内中心方向に成軸に沿つての等分布荷重が作用する場合を考えている。解析のオ2は、かゝるアーチの固有振動性状に関するものである。その計算に当つては、さきに発表した、かゝるアーチの応力変形の解析や、また以下に述べる座屈値の算定計算とは密接な関係があるが、とくにF.W. Wallingのアーチ面内振動に関する論文を参考してある。

I 座屈に及ぶる解析 座屈変形状態として図-2に示すモードについて考察してある。座標軸x, y, z、変位u, v, w = R $y, \psi$ 、断面力などと図-3.4.5のようになるとすれば、座屈のさい生ずべき全ポテンシャルエネルギーWは、まずつきのように考えておいてよい。

$$\begin{aligned} W = & \int \left[ \frac{1}{2} F_3 (\dot{\psi}_z^2 + \dot{\psi}_y^2) + \frac{1}{2} F_4 (\dot{\psi}_x^2 + \dot{\psi}_y^2) + \frac{1}{2} F_5 (v_z^2 + v_y^2) + M_{xz} (\dot{\psi}_z v_x - M_{yz} (\dot{\psi}_z v_y) \right. \\ & \left. - \frac{M_{xy}}{R} (v_z^2 + v_y^2) - \frac{M_{yz}}{2R} (v_z^2 + v_y^2) v_y - \frac{1}{2} q R^2 v_y^2 \right] d\theta \\ & + \int \left[ \frac{1}{2} F_3 (\dot{\psi}_z^2 + \dot{\psi}_y^2) + \frac{1}{2} F_4 (\dot{\psi}_x^2 + \dot{\psi}_y^2) + \frac{1}{2} F_5 (v_z^2 + v_y^2) + M_{xz} (\dot{\psi}_z v_x - M_{yz} (\dot{\psi}_z v_y) \right. \\ & \left. - \frac{M_{xy}}{R} (v_z^2 + v_y^2) - \frac{M_{yz}}{2R} (v_z^2 + v_y^2) v_y - \frac{1}{2} q R^2 v_y^2 \right] d\theta \quad \dots \dots \dots \quad (1) \end{aligned}$$

ここで  $F_2 = \frac{EI_x}{R^2}, F_3 = \frac{GJ_x}{R^2}, F_4 = \frac{EI_y}{R^2}$  で、断面力、変位関係の添字のうち、0は座屈直前に働いていた値を、1, 2は図-3における[I][II]の値を示す。こゝで座屈変形は座屈応力N<sub>0</sub>に対しても、図-4変位の符号

平衡でなければならないから、式(1)のポテンシャルエネルギーWは最小値をとる、すなわち変分 $\delta W = 0$

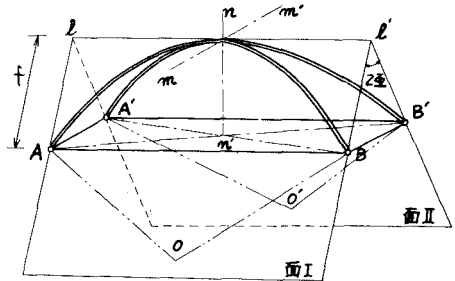


図-1 アーチ見取図

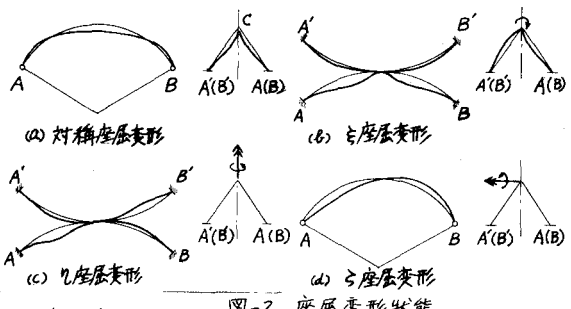


図-2 座屈変形状態

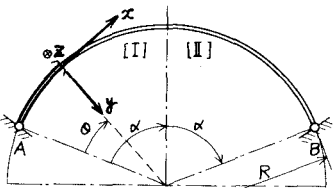


図-3 アーチ実形図

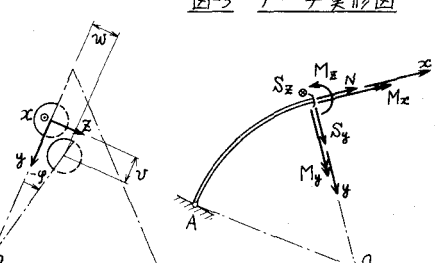


図-5 断面力の符号

と境界条件を考慮して、連立微分方程式が導かれる。これを解けば(2)のような変位を表わす式を得る。

$$\varphi_i = A_1 e^{j\omega t} + A_2 e^{-j\omega t} + A_3 \sin \lambda_3 \theta + A_4 \cos \lambda_3 \theta, \quad \psi_i = B_1 \sin K_3 \theta + B_2 \cos K_3 \theta + B_3 \sin \lambda_3 \theta + B_4 \cos \lambda_3 \theta + A_5 \theta + A_6 \dots \dots \quad (2)$$

ここで、 $A_1 \sim A_6, B_1 \sim B_4$ は積分常数、入、出は所定の常数で  $K_3$  は  $K_3 = \sqrt{\frac{N_2}{EI_x}}$  で  $N_2$  を含んでいる。さらに、かく座屈形に対する境界条件が、つぎの式(3)のように考えられるから、この条件式(3)を(2)式に代入し、 $A_i, B_i$  が同時に 0 となる以外の値を有するためには必要な条件式、すなはち係数行列式の値が 0 でなければならぬといふ。こうして座屈条件式を満足する  $N_2$  を求めれば、よいことになる。

$$(a) 対称座屈の場合, \quad \theta=0; \quad \varphi=0, \quad \psi=0, \quad u=0, \quad v'=0 \\ \theta=\alpha; \quad \varphi=0, \quad \psi=0, \quad -\frac{\tan \theta}{R} v=0, \quad v'=0, \quad -RF_2 v'' + \tan \theta F_3 \varphi' + \tan \theta F_4 \psi' - \tan \theta F_5 \psi'' = 0 \quad \left. \right\} \quad (3.a)$$

$$(b) \begin{cases} \text{奇座屈の場合, 始点: } \varphi_1 = \varphi_2 = 0, \psi_1 = \psi_2 = 0, \varphi_1 = \varphi_2 = 0, \psi_1 = \psi_2 = 0, \psi_1'' = \psi_2'' = 0 \\ \text{C点不動の場合: クラウン: } \psi_1 = \psi_2 = 0, \varphi_1 = \varphi_2 = 0, \varphi_1' = \varphi_2' = 0, \varphi_1 + \varphi_2 = 0, \varphi_1' + \varphi_2' = 0 \end{cases} \quad (3.b)$$

C点が任意のところに動く場合: (3.b) でクラウンとの条件式が異ってくる。

$$\begin{aligned} \psi_1' = \psi_2' = 0, \quad \varphi_1' = \varphi_2' = 0, \quad \varphi_1 + \varphi_2 = 0, \quad \xi_1 = \frac{1}{2} \cos(\frac{\pi}{2} - 2\theta) + \frac{1}{2} \sin(\frac{\pi}{2} - 2\theta), \quad \varphi_1 = -\frac{1}{2} \sin(\frac{\pi}{2} - 2\theta) + \frac{1}{2} \cos(\frac{\pi}{2} - 2\theta) \\ \cos 2\theta \{-g(\xi_1'' + \xi_2'') + \sin 2\theta \{f_1(\varphi_1' + \varphi_2') - (\psi_1'' - \psi_2'')\} + g(\xi_2'' + \xi_1'')\} = 0, \quad \sin 2\theta \{-g(\xi_1'' + \xi_2'') - \cos 2\theta \{f_1(\varphi_1' + \varphi_2') - (\psi_1'' - \psi_2'')\} - f_1(\varphi_1' + \varphi_2') - (\psi_1'' - \psi_2'')\} = 0 \end{aligned} \quad (3.b2)$$

$$(c) 奇座屈の場合, クラウンでは、つぎのように考えればよい。 \quad \theta = \frac{GJ_r}{EI_x}, \quad g = \frac{EI_x}{EI_y} \quad (3.b3)$$

$$v_1 = v_2 = 0, \quad \varphi_1 = \varphi_2 = 0, \quad \varphi_1' + R \frac{v}{R} \tan \theta = 0, \quad v_1' + R \frac{v}{R} \tan \theta = 0, \quad v_1' - v_2' = 0, \quad R \tan \theta F_2 v'' - R \tan \theta F_3 \varphi' - R \tan \theta F_4 \psi' + R \tan \theta F_5 \psi'' = 0 \quad (3.c)$$

(d) 偶座屈の場合, 奇座屈における  $\tan \theta$  を  $-\cot \theta$  と置き換えればよい。

・数値計算例:  $R = 50 \text{ m}$ ,  $l = 60 \text{ m}$ ,  $f = 10 \text{ m}$ ,  $D(\text{パイア} \theta \text{付柱}) = 50 \text{ cm}$ ,  $t(\text{肉厚}) = 1 \text{ cm}$  にすれば、

う座屈;  $\theta = 1^\circ$ :  $N_2 = 88.65 \text{ ton}$ ,  $10^\circ$ :  $89.77 \text{ ton}$ ,  $15^\circ$ :  $106.00 \text{ ton}$ , 奇座屈;  $1^\circ$ :  $166.52 \text{ ton}$ ,

対称座屈;  $10^\circ$ :  $208. \text{ton}$ , う座屈;  $5^\circ$ :  $200. \text{ton}$  (C点が動くとき),  $5^\circ$ :  $370. \text{ton}$  (C点が不動のとき)

・つきに、式(1)のボテンシャルエネルギー  $\frac{1}{2EA} \int \left( \frac{du}{ds} - \frac{v}{R} \right)^2 ds$  に  $N_2$  のなす仕事で  $\int N_2 \left( \frac{du}{ds} - \frac{v}{R} \right) ds$  なども考慮に入れるにすれば、例えばう座屈の場合、Lの積分常数に関する境界条件として、始点で  $u_1 = u_2 = 0$ , クラウンで  $\left( \frac{du}{ds} \right) = 0$  の4つをさらに考慮すればよい。

II 固有振動に関する解析 振動方程式は、およそつぎのようにして算定され得る。こゝではエネルギー法によらず、釣り合い条件式から求めてみる。いま、部材の単位長さ当たりの質量を  $\mu$ ,  $x, y, z$  方向およびねじりによる慣性力を  $X, Y, Z, M_g$  すなはち  $X = -\mu \frac{\partial^2 u}{\partial t^2}$ ,  $Y = -\mu \frac{\partial^2 v}{\partial t^2}$ ,  $Z = -\mu \frac{\partial^2 w}{\partial t^2}$ ,  $M_g = \frac{\mu J_r \partial^3 \varphi}{A \partial t^2}$  とすれば、アーチに対してはつぎの釣り合い条件式(4)が成立する。

$$\frac{dN}{ds} - S_y + XR = 0, \quad \frac{dS_y}{ds} + N + YR = 0, \quad \frac{dM_g}{ds} - S_y R = 0, \quad \frac{dS_y}{ds} + ZR = 0, \quad \frac{dM_g}{ds} - M_g + RM_g = 0, \quad RS_z - \frac{dM_g}{ds} - M_z = 0 \quad (4)$$

こゝで応力と歪との関係式  $M_x = F_1 \left( \frac{dp}{ds} + \frac{1}{R} \frac{dv}{ds} \right)$ ,  $M_y = -F_4 \left( \frac{1}{R} \frac{dv}{ds} - g \right)$ ,  $M_z = -F_2 R \left( \frac{d^2 v}{ds^2} + \frac{du}{ds} \right)$ ,  $N = F_1 \left( \frac{du}{ds} - v \right)$  (5) を(4)式に適用すれば、変位に関する連立方程式が得られる。さらに  $u = \bar{u} \cos \omega t$ ,  $w = \bar{w} \cos \omega t$  etc... (6)

とおけば、例ええば  $\bar{u}$ ,  $\bar{w}$  に関しては、つぎのような微分方程式が得られる。

$$\frac{d^4 \bar{u}}{ds^4} + (2 + \bar{\alpha}_1 \bar{k}_1) \frac{d^2 \bar{u}}{ds^2} + (-\bar{\alpha}_1 - \bar{\alpha}_2 \bar{k}_2) \bar{u} = 0, \quad \frac{d^4 \bar{w}}{ds^4} + (2 + \delta \epsilon f^2) \frac{d^2 \bar{w}}{ds^2} - (-f + f^2 + \bar{f}^2) \frac{d^2 \bar{w}}{ds^2} - (\delta \epsilon f^2 - \bar{f}^2) \bar{w} = 0 \quad (7)$$

こゝで  $\bar{\alpha}_1, \bar{\alpha}_2, \delta, \epsilon, \bar{k}_1, \bar{k}_2 = \frac{\mu R^4}{EI_x} \omega^2$ ,  $\bar{f} = \frac{\mu R^4}{EI_y} \bar{w}^2$  は無次元パラメータである。したがつて、これを解けばよいが、さらに、かく種振動形に対する境界条件、固有振動数の算定には、上に述べた座屈形に対応したその境界条件はそのまま適用でき、固有値問題として取り扱いも全く同様の手順を踏めばよい。

数値計算例: 鉛直方向対称振動を上と同じ方法で考れば、 $\theta = 0^\circ$ :  $n = 2.76 \text{ rad/sec}$ ,  $5^\circ$ :  $2.74$ ,  $15^\circ$ :  $2.55$

振動計算を模型実験値と比較して、ほゞ妥当と思われるが実験値に関しては機密中である。文献は省略する。